

## A UTILIZAÇÃO DOS CONCEITOS DE ENTROPIA NA SÍNTESE DE ESTRUTURAS COM COMPORTAMENTO ELASTOPLÁSTICO

L.M.C. Simões \*

**Resumo:** É intenção deste trabalho dar a conhecer uma nova técnica de optimização cujas potencialidades estão actualmente a ser investigadas no Departamento de Engenharia Civil da Universidade de Coimbra. Consiste na aplicação do princípio da entropia, formulada por Shannon para medir a incerteza num processo estocástico, à síntese de estruturas com comportamento elastoplástico. Deste modo é possível ultrapassar algumas das dificuldades decorrentes das restrições de complementaridade que determinam que o domínio do programa matemático seja não-convexo.

### 1. Introdução

Os métodos de optimização que actualmente se utilizam no dimensionamento de estruturas com comportamento elástico foram desenvolvidos nos últimos vinte anos. Tem-se verificado que não são muito eficientes quando se aplicam a outros problemas de optimização, tais como a optimização de forma de estruturas que se apoia na discretização por elementos finitos e a síntese elastoplástica em que estão presentes restrições de complementaridade. Julga-se ser conveniente propor estratégias baseadas em conceitos fundamentalmente diferentes. Entre estes, os métodos baseados em entropia da informação<sup>1,2</sup> tem um potencial considerável, embora ainda se encontrem num estágio primário de investigação.

O problema genérico da optimização de estruturas com comportamento elastoplástico não tem sido objecto de muitos trabalhos, com excepção de alguns problemas particulares<sup>3,4</sup>. Pretende-se neste trabalho analisar uma classe suficientemente alargada de problemas de optimização de estruturas elastoplásticas (com ou sem endurecimento) que suportam um determinado carregamento e estão sujeitas a restrições de ordem tecnológica e deformações que não excedem certos limites impostos.

---

\* Professor Associado de Engenharia Civil  
Faculdade de Ciências e Tecnologia da Universidade de Coimbra

Uma hipótese de base normalmente aceite é que a lei constitutiva corresponde à plasticidade holonómica quando o carregamento varia proporcionalmente. Por outro lado, supõe-se que a função objectivo é linearmente dependente das variáveis de decisão identificadas com parâmetros de resistência local. Um dos aspectos mais dignos de realce da formulação matemática deste tipo de problemas de optimização é que existe uma relação de complementaridade entre pares de variáveis de estado. O problema de análise elastoplástica, inverso do dimensionamento conduziria a um problema de complementaridade linear.

No caso mais geral de comportamento das secções da estrutura, admite-se que as variáveis de decisão afectem a resistência e a rigidez das secções correspondentes, o que acontece em estruturas metálicas dúcteis e nas de betão armado em que se admite variarem as dimensões da secção e as armaduras.

No caso de se pretender minimizar a armadura em estruturas de betão armado em que a secção se mantém constante, pode assumir-se que as variáveis de decisão não alteram a rigidez elástica e rigidez plástica.

## 2. Formulação do problema

Por hipótese, a função objectivo é linearmente dependente das variáveis de decisão  $r$ , e como se admite que o custo é proporcional ao volume do material, tem-se:

$$\text{Min } w = c^t r \quad (1)$$

Se  $u$  e  $F$  representarem, respectivamente, os vectores dos deslocamentos nodais e do carregamento aplicado ( $\beta$  grau de liberdade) e supondo que a análise se pode basear na geometria inicial as equações de compatibilidade e equilíbrio escritas na forma matricial são:

$$q = C u \quad (2)$$

$$C^t Q = F \quad (3)$$

onde a matriz  $C$  ( $m \times \beta$ ) tem traço  $\beta$  desde que a estrutura seja isocinématica,  $Q$  e  $q$  são os vectores com  $m$  elementos dos esforços e das deformações das barras.

Em cada membro  $i$  admite-se que as relações constitutivas que ligam os esforços às deformações são holonómicas e constituídas por troços lineares (Fig.1).

$$q^i = e^i + p^i = (S^i)^{-1} Q^i + \lambda^i_1 - \lambda^i_2 \quad (4a)$$

$$\phi^i_1 = r^i_1 + H^i_1 \lambda^i_1 - Q^i \geq 0 \quad (4b)$$

$$\phi^i_2 = r^i_2 + H^i_2 \lambda^i_2 - Q^i \geq 0 \quad (4c)$$

$$\lambda^i_1, \lambda^i_2 \geq 0 \quad ; \quad \phi^i_1 \lambda^i_1 = 0 \quad ; \quad \phi^i_2 \lambda^i_2 = 0 \quad (4d)$$

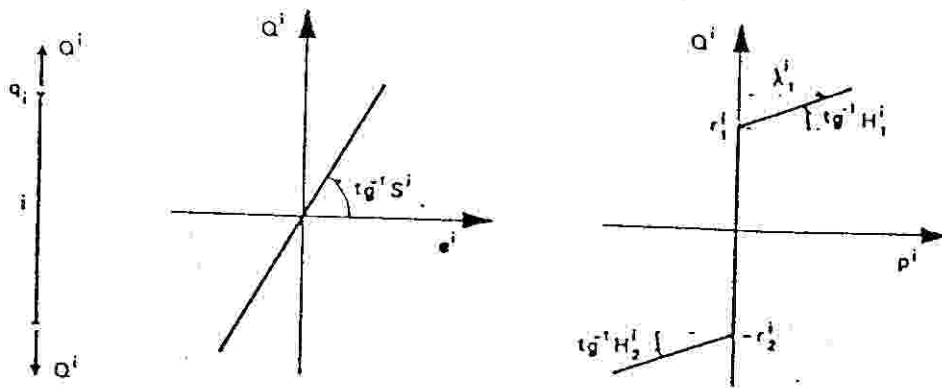


Figura 1

Nestas expressões  $\lambda_j^i$  e  $\phi_j^i$  representam, respectivamente, o multiplicador plástico e a função de cedência e  $H_j^i$  é o módulo de endurecimento. Agrupando estas relações para o conjunto de membros  $m$ , tem-se na forma matricial,

$$q = S^{-1} Q + p \quad (5a)$$

$$p = N \lambda \quad ; \quad \lambda \geq 0 \quad (5b)$$

$$\phi = r + H \lambda - N^t Q \geq 0 \quad (5c)$$

$$\phi^T \lambda = 0 \quad (5d)$$

onde,  $N = [I \ -I]$

Substituindo os vectores  $q$  e  $Q$  as expressões (2), (3) e (5) vem:

$$K u - C^t \lambda = F \quad (6a)$$

$$r - N^T S C u + (N^t S N + H) \lambda = \phi \quad (6b)$$

$$\phi \geq 0 \quad ; \quad \lambda \geq 0 \quad ; \quad \phi^T \lambda = 0 \quad (6c)$$

onde,  $K = C^t S C$  é a matriz de rigidez da estrutura.

De (6a) tem-se que:

$$u = u^E + G N \lambda \quad (7)$$

onde,

$$u^E = K^{-1} F \quad e \quad G = K^{-1} C^t S \quad (8)$$

Do ponto de vista mecânico o vector  $u^E$  representa os deslocamentos elásticos e a matriz  $G$  dá os coeficientes de influência dos deslocamentos devidos às deformações  $\lambda$ . Em geral a rigidez das barras, composta da rigidez elástica representada por  $S$  e da rigidez plástica (endurecimento) que se designa  $H$ , varia com a resistência  $r$  da barra, porque todos os parâmetros que definem o comportamento dos membros dependem das características geométricas das secções das barras (que são as variáveis de decisão). Então para um

determinado conjunto de variáveis  $r$  a expressão que dá a resposta da estrutura às cargas pode ser representada do seguinte modo:

$$\phi = r + (H(r) - N^t Z(r) N) \lambda - N^t Q^E(r) \geq 0 \quad ; \quad \lambda \geq 0 \quad (9a)$$

$$\phi^t \lambda = 0 \quad (9b)$$

onde,

$$Q^E(r) = S(r) C K(r)^{-1} F \quad \text{e} \quad Z(r) = (S(r) C K(r)^{-1} C^T S(r) - S(r)) \quad (10)$$

$Q^E(r)$  é o vector das tensões elásticas devidas às cargas e  $Z(r)$  é a matriz simétrica dos coeficientes de influência das tensões internas que são produzidas pelas deformações. De notar que a formulação (9) equivale ao problema de análise elastoplástica holonómica.

Para entrar com estados limites de utilização, impõe-se limites superiores nos deslocamentos respectivos:

$$-U \leq B u^E(r) + B G(r) N \lambda \leq U \quad (11)$$

A escolha destes deslocamentos é feita através da matriz binária  $B$ .

Se o material tiver ductilidade limitada, impõe-se limites superiores multiplicadores plásticos:

$$\lambda \leq \Lambda \quad (12)$$

Por outro lado, as variáveis de decisão podem estar sujeitas a restrições tecnológicas (por exemplo, várias barras representadas pela mesma variável de decisão, simetria no dimensionamento). Estas restrições lineares podem ser representadas através de:

$$T r = 0 \quad ; \quad r \geq 0 \quad (13)$$

No caso particular do modelo ser elástico-plástico perfeito,  $H = 0$  e tem de se assegurar que existe capacidade resistente suficiente para suportar as cargas aplicadas.  $Q^E$  representa um estado de tensão em equilíbrio com as cargas e  $Z N \lambda$  é um estado de tensão auto-equilibrado qualquer que seja o valor de  $\lambda$ . As desigualdades (9a) garantem que as cargas são estatisticamente admissíveis e não excedem a capacidade resistente  $r$  dos membros da estrutura.

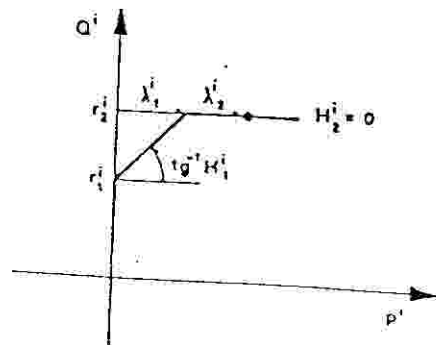


Figura 2

A lei de deformabilidade representada na Fig.2, onde se segue a um estado de endurecimento um comportamento plástico perfeito tem interesse prático (betão armado). Os ramos onde se verifica o endurecimento vão afectar as mudanças de geometria ainda que a carga de colapso plástico não seja alterada.

### 3. Conceitos Básicos de Entropia

Considerar o programa de optimização a seguir indicado (Problema A):

$$\text{Min}_{x_i} f(x) \quad i = 1, \dots, N \quad (14a)$$

$$\text{sa} \quad g_j(x) \leq 0 \quad j = 1, \dots, M \quad (14b)$$

A forma surrogada equivalente do Problema A (Problema B) é:

$$\text{Min}_{x_i} f(x) \quad i = 1, \dots, N \quad (15a)$$

$$\text{sa} \quad \sum_{j=1, M} \alpha_j g_j(x) \leq 0 \quad (15b)$$

onde os multiplicadores surrogados tem de obedecer a:

$$\alpha_j \geq 0 \quad (16a)$$

$$\sum_{j=1, M} \alpha_j = 1 \quad (16b)$$

Uma solução  $x^*$  do Problema A também resolve o Problema B com  $\alpha^*$ . Tem-se:

$$f_B(\alpha) \leq f_B(\alpha^*) \quad (17)$$

#### 3.1. Possível esquema de solução:

Um possível esquema de resolução consistiria em escolher em primeiro lugar um conjunto inicial  $\alpha^0$ . Em seguida, resolve-se o Problema B com  $\alpha^0$  de modo a obter-se  $x^0$  e  $f_B(\alpha^0)$ .

Para a iteração seguinte, tem de se actualizar de qualquer forma  $\alpha^0$  para  $\alpha^1$ , e resolver o Problema B com  $\alpha^1$  de modo a ter-se  $x^1$  e  $f_B(\alpha^1) > f_B(\alpha^0)$ .

Continuar a actualizar  $\alpha$  até encontrar um valor de  $x^*$  que satisfaça todas as restrições do Problema A. Esse valor de  $x^*$  é uma solução do problema A.

Para um dado valor de  $x$ , o problema de encontrar uma melhor tentativa para  $\alpha$  tem a seguinte forma:

Determinar,

$$\alpha_j = \alpha_j^{[k]} \quad ; \quad j = 1, \dots, M \quad (18)$$

de modo que,

$$\sum_{j=1, M} \alpha_j^{[k]} g_j(x)^{[k-1]} = \epsilon \quad (19)$$

e uma função objectivo desconhecida  $f_B(\alpha)$  tenda para um valor máximo.

Os conceitos de entropia são aqui introduzidos como substitutos da função objectivo implícita  $f_B(\alpha)$ . Assim, tem-se:

$$\text{Max } (S/K) = - \sum_{j=1, M} \alpha_j \ln \alpha_j \quad (20a)$$

$$\text{sa} \quad \sum_{j=1, M} \alpha_j = 1 \quad (20b)$$

$$\sum_{j=1, M} \alpha_j g_j(x) = \epsilon \quad (20c)$$

A solução para este problema é a estimativa de  $\alpha$  com menor erro:

$$\alpha_j^{[k]} = \frac{e^{\beta^{[k]} g_j(x^{[k-1]})}}{\sum_{j=1, M} e^{\beta^{[k]} g_j(x^{[k-1]})}} \quad (21)$$

### 3.2. Implementação

1.  $k = 0$

$$\alpha_j^{[0]} = 1/M \quad ; \quad j = 1, \dots, M$$

2. Resolver:

$$\text{Min}_x f(x)$$

$$\text{sa} \quad \sum_{j=1, M} \alpha_j^{[k]} g_j(x) = 0$$

que tem por solução  $x_i^{[k]}$ ,  $i = 1, \dots, N$

3. Verificar convergência:

$$g_j(x^{[k]}) < \epsilon^+ \quad , \quad \forall_j \quad ?$$

a) SIM  $\Rightarrow$  Terminar  $x^{[k]} = x^*$ .

b) NÃO  $\Rightarrow$  Passo 4.

4.  $k = k+1$ ; Escolher  $\beta^{[k]} > 0$  de modo que  $\beta^{[k]} > \beta^{[k-1]}$

5.

$$\alpha_j^{[k]} = \frac{e^{\beta_j^{[k]}} g_j(x^{[k-1]})}{\sum_{j=1, M} e^{\beta_j^{[k]}} g_j(x^{[k-1]})} \quad j = 1, \dots, M$$

voltar ao Passo 2.

### 3.3. Interpretação

A restrição no Problema B tem um valor esperado nulo. Os valores de  $\alpha_j$  são as possibilidades de que cada uma das restrições do Problema A seja activa na solução óptima. Maximizando a entropia, pretende-se encontrar em cada iteração os valores de  $\alpha_j$  com menor erro baseados na informação do  $g(x)$  calculado na iteração anterior.

## 4. Aplicação do Conceito de Entropia à Síntese de Estruturas Elastoplásticas

Nos casos práticos a variação dos valores das resistências locais  $r$  vai afectar a rigidez (elástica  $S$  e plástica  $H$ ) de uma forma complexa. Contudo há casos em que as modificações em  $r$  não produzem variações significativas na rigidez elástica: Em estruturas de betão armado pode-se minimizar a armadura supondo constantes as dimensões das secções e um comportamento elástico-plástico perfeito do material (embora se possa admitir um endurecimento plástico constante). Deste modo as matrizes  $S$ ,  $G$ ,  $Z$  e  $H$  e os vectores  $Q^E$ ,  $u^E$  são constantes e o programa matemático transforma-se num problema de programação complementar: Trata-se de um programa linear onde é adicionada a relação de complementaridade, que o torna não linear e não-convexo.

$$\text{Min } w = c^t r \quad (22a)$$

$$\text{sa } \phi = [H - N^t Z N] \lambda - N^t Q^E \geq 0 \quad (22b)$$

$$-U \leq B U^E + B G N \lambda \leq U \quad (22c)$$

$$\lambda \leq \Lambda \quad (22d)$$

$$\lambda \geq 0 \quad ; \quad r \geq 0 \quad (22e)$$

$$\phi^T \lambda = 0 \quad (22f)$$

Este problema pode ser resolvido utilizando o algoritmo descrito no parágrafo anterior.

Em primeiro lugar, reduz-se o número de variáveis de decisão independentes com base no conjunto de restrições tecnológicas:

$$T r = 0 \quad (23)$$

Para utilizar os métodos baseados em entropia, a condição de complementaridade (22f) é inicialmente relaxada, sendo imposta numa fase ulterior através da manipulação dos multiplicadores surrogados  $\alpha_j$ . É necessário um ponto de partida  $r^0$  que pertença ao domínio para iniciar o algoritmo. Para forçar a que a condição de complementaridade seja cumprida, utiliza-se a relação

$$\phi_m \alpha_m = \lambda_n \alpha_n \quad (24)$$

que liga os multiplicadores surrogados  $\alpha_m, \alpha_n$  aos potenciais plásticos e multiplicadores plásticos  $\phi_m, \lambda_n$ , respectivamente e fornece uma indicação sobre as variáveis que se encontram na base.

Se a rigidez (S e H) variar quando r for alterado, os vectores  $Q^E, u^E$  e as matrizes Z, H, S e G ao depender dos valores das variáveis de decisão aumentam a não-linearidade e a não convexidade do programa de optimização. Embora seja possível neste caso mais geral utilizar o mesmo método, descreve-se em seguida um algoritmo que reduz as oscilações entre iterações sucessivas e evita to trabalho numérico de cálculo de  $Q^E(r), H(r), Z(r), u^E(r)$  e  $G(r)$  de cada vez que é obtido um novo r.

#### 4.1. Algoritmo OD

Cada iteração deste algoritmo consiste essencialmente em resolver dois programas matemáticos. Na Fase O tenta melhorar-se o dimensionamento obtido na iteração anterior. Verifica-se em seguida se o resultado obtido pertence ou não ao domínio do problema inicial (Fase D).

Na fase de optimização (Fase O) deste método iterativo resolve-se o problema (22a)-(22e) em ordem a r, definindo-se  $Q^E, H, Z, u^E$  e G a partir de  $r^0$ , ou seja: Calcula-se um novo  $r^*$  supondo que as modificações em r não produzem variações significativas na rigidez. Se a solução deste programa der  $r^* = r^0$ , está encontrada uma solução local.

Se isso não acontecer ( $r^* \neq r^0$ ) e tenta encontrar-se uma solução pertencente ao domínio (Fase D). Normalmente limita-se o passo máximo  $|r - r^0|$ .

Nesta fase é resolvido o sistema a seguir indicado em ordem e  $\phi$  e  $\lambda$ ,

$$\phi = [H(r^*) - N^t Z(r^*) N] \lambda + r^* - N^t Q^E(r^*) \geq 0 \quad ; \quad \lambda \geq 0 \quad (25a)$$

$$-U \leq B U^E(r^*) + B G(r) N \lambda \leq U \quad (25b)$$

$$\lambda \leq \Lambda \quad (25c)$$

$$\phi^t \lambda = 0 \quad (25d)$$



o que se consegue utilizando a função objectivo artificial (em lugar da função objectivo  $w$  com  $r = r^*$ ):

$$\text{Min } \sum_i \phi_i + \sum_i \lambda_i \quad (26)$$

A condição de complementaridade (25d) seria obedecida indirectamente através da escolha dos multiplicadores surrogados. Se este sistema tiver solução,  $r^*$  pertence ao domínio do problema inicial e  $r^0$  é substituído por  $r^*$  na iteração seguinte em virtude de se ter  $c^t r^* \leq c^t r^0$ . Se  $r^*$  não pertencer ao domínio, fazia-se  $r^* = (r^* + r^0)/2$  e recomeçaria a fase D.

### 5. Aplicação

O exemplo normalmente utilizado é a treliça representada na Fig. 3.

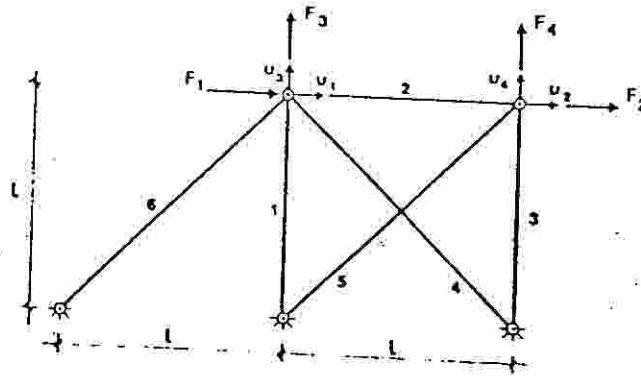


Figura 3

Pressupõe-se que cada barra possui um único modo de cedência à compressão,  $H_1^i = 0$ , que é a carga crítica de Euler  $\pi^2 E I_i / l_i^2$ . Considerando secções do tipo "sandwich" com uma altura útil  $h_i$  em todas as barras, o momento de inércia  $I_i = 1/2 h_i^2 A_i$  é proporcional à área  $A_i$  dos banzos que suportam as tensões instaladas. Admite-se geralmente que a resistência  $r_i$ , a rigidez elástica  $S_i$  e o custo de cada membro  $c_i$  são proporcionais a  $A_i$ . Escolhendo convenientemente as dimensões, tem-se:

$$\begin{aligned} r_{1,2,3} &= 3 A_1 & ; & & r_{4,5,6} &= 2 A_2 \\ S_{1,2,3} &= 3 A_1 & ; & & S_{4,5,6} &= 2 A_2 \end{aligned}$$

Supondo que o alongamento no limite de cedência é uma unidade e a rigidez elástica das barras é idêntica às resistências, impondo o mesmo limite em todos os deslocamentos, tem-se:

$$U^t = [4 \ 4 \ 4 \ 4] \quad ; \quad B = I$$

Este exemplo foi resolvido considerando diferentes matrizes tecnológicas e carregamentos:

*Caso 1*

Supor que todas as barras com o mesmo comprimento são representadas pela mesma variável de decisão, tem-se:

$$r' = r_1 = r_2 = r_3 \quad ; \quad r'' = r_4 = r_5 = r_6$$

Considera-se para carregamento,

$$F^t = [9 \ 0 \ 0 \ 0]$$

*Caso 2*

Utiliza-se a matriz tecnológica do exemplo anterior e o carregamento é dado por:

$$F^t = [7 \ -3 \ 0 \ 0]$$

*Caso 3*

Considera-se o carregamento indicado no Caso 1 e supõe-se que as seis variáveis de decisão podem variar independentemente.

## 6. Discussão

Neste trabalho foi apresentada uma metodologia para a solução do problema de síntese elastoplástica de estruturas, baseada em conceitos radicalmente diferentes dos tradicionalmente adoptados. No escasso número de artigos onde aquele assunto é tratado, são utilizados métodos que se baseiam em programação matemática ou em critérios de optimalidade. Os métodos que se apoiam em entropia tem sobre a programação matemática a vantagem de evitar a utilização de árvores combinatorias que tornam muito morosa a resolução destes problemas não lineares e não-convexos. Além disso constituem por si próprios uma estratégia para a escolha do conjunto de restrições activas através da informação produzida pelo comportamento do modelo, o que é reconhecidamente a grande deficiência dos métodos baseados em critérios de optimalidade. Contudo, ainda constituem uma área nova de investigação.

## Bibliografia

1. Templeman, A.B. e Xingsi, L., "A Maximum Entropy Approach to Constrained Non-linear Programming", Engrg. Opt., 12, 191-205, 1987.
2. Basu, P.C. e Templeman, A.B. , "An Efficient Algorithm to Generate Maximum Entropy Distributions", Int. J. Num. Meths. Engrg., 20, 1039-1055, 1984.
3. Kaneko, I. e Maier, G. , "Optimum Design of Plastic Structures under Displacement Constraints", Comp. Meths. Appl. Mech. Engrg., 27, 369-391, 1981.
4. Cinquini, C. e Contro, R. , "Optimal Design of Elastic-plastic Structures", Computer Aided Optimal Design: Structural and Mechanical Systems, C.A. Mota Soares Ed., Springer-Verlag, 1987.